

网络出版时间: 2022-06-27 18:00 网络出版地址: <https://kns.cnki.net/kcms/detail/34.1065.R.20220624.1738.011.html>

## IL-1 $\beta$ 诱导甲状腺细胞 UGRP1 表达及其与 Fas/FasL 介导凋亡的相关性

陈翠萍<sup>1</sup> 李阿楠<sup>1</sup> 任翠平<sup>2</sup> 沈际佳<sup>2</sup> 左春林<sup>1</sup>

**摘要** 目的 探讨白细胞介素-1 $\beta$ ( IL-1 $\beta$  ) 诱导甲状腺细胞子宫球蛋白相关蛋白 1( UGRP1 ) 的表达及其与 Fas/FasL 介导细胞凋亡的相关性。方法 设立对照组、IL-1 $\beta$  组、IL-1 $\beta$  + 抗 FasL 抗体组 , 体外培养大鼠甲状腺细胞( FRTL-5 细胞 ) , 采用 Real-time PCR 法检测各组细胞 UGRP1 及 Fas mRNA 表达水平 ; 采用流式细胞术检测各组细胞凋亡率。结果 与对照组比较 ,IL-1 $\beta$  组、IL-1 $\beta$  + 抗 FasL 抗体组 UGRP1 及 Fas mRNA 表达水平升高 , 差异有统计学意义 (  $P < 0.05$  ) ;

2022-05-18 收稿

基金项目: 国家自然科学基金( 编号: 81270864)

作者单位: <sup>1</sup> 安徽医科大学第一附属医院内分泌科 , 合肥 230022

<sup>2</sup> 安徽医科大学基础医学院微生物与寄生虫学教研室 , 合肥 230032

作者简介: 陈翠萍 , 女 , 硕士研究生;

左春林 , 男 , 主任医师 , 副教授 , 硕士生导师 , 责任作者 , E-mail: zuochl@163.com

与对照组比较 ,IL-1 $\beta$  组甲状腺细胞早期凋亡率升高 (  $7.49\% \pm 1.91\%$  vs  $28.46\% \pm 3.17\%$  ) , 差异有统计学意义 (  $P < 0.001$  ) , 与 IL-1 $\beta$  组比较 ,IL-1 $\beta$  + 抗 FasL 抗体组甲状腺细胞早期凋亡率降低 (  $28.46\% \pm 3.17\%$  vs  $19.20\% \pm 1.75\%$  ) , 差异有统计学意义 (  $P < 0.05$  ) ; 与 IL-1 $\beta$  组比较 ,IL-1 $\beta$  + 抗 FasL 抗体组 UGRP1 mRNA (  $2.22 \pm 0.31$  vs  $2.66 \pm 0.28$  ) 及 Fas mRNA (  $2.75 \pm 0.18$  vs  $3.03 \pm 0.16$  ) 表达水平差异无统计学意义 (  $P > 0.05$  ) 。结论 IL-1 $\beta$  诱导甲状腺细胞 UGRP1 与 Fas 高表达以及细胞凋亡 ,URGP1 高表达与 Fas/FasL 介导的细胞凋亡不相关。

**关键词** 白细胞介素-1 $\beta$ ; 子宫球蛋白相关蛋白 1; Fas/FasL 通路; 凋亡; 自身免疫性甲状腺病

**中图分类号** R 581.4

**文献标志码** A 文章编号 1000-1492(2022)07-1073-05

doi: 10.19405/j.cnki.issn1000-1492.2022.07.011

自身免疫性甲状腺病( autoimmune thyroid dis-

## Design and implementation of retinal blood vessel segmentation system combining region growth and U-Net

Jiang Mengduo<sup>1</sup>, Zhang Pengyu<sup>2</sup>, Zhang Shuhe<sup>3</sup>, Sun Xinyue<sup>4</sup>, Tao Liming<sup>2</sup>, Zhou Jinhua<sup>1</sup>

(<sup>1</sup> Anhui Medical University, School of Biomedical Engineering, Hefei 230032;

<sup>2</sup> Second Affiliated Hospital of Anhui Medical University, Ophthalmology, Hefei 230601;

<sup>3</sup> University Eye Clinic Maastricht, Maastricht University Medical Center, Netherlands 6202AZ;

<sup>4</sup> Anhui Medical University, Second Clinical School of Medicine, Hefei 230022)

**Abstract Objective** This research aimed to explore the application of the combination of region growth and U-Net in the retinal vessel segmentation system , retinal vessels were automatically segmented through the developed system. This research provides doctors with accurate information on changes in the retinal blood vessel structure , which will improve the efficiency of diagnosis and treatment. **Methods** Combined with U-Net network and region growth , the pre-processed retinal blood vessels were automatically segmented , and the algorithms were integrated into the retinal blood vessel segmentation system through the design of controls. **Results** The average values of blood vessel segmentation performance indexes— accuracy , sensitivity , and specificity were 0.977 7 , 0.768 4 , and 0.982 1 , respectively , and regional iterative growth could improve the segmentation effect of fine retinal blood vessels. **Conclusion** The system has the characteristics of simple interface and convenient operation. It realizes automatic retinal blood vessel segmentation with high precision and visualization , provides an effective application platform for doctors to observe the changes of retinal vascular structure , and also provides a thinking direction for doctors to judge the nature of lesions.

**Key words** retinal vessels; U-Net network; region growth; automatic segmentation; system implementation

eases, AITD) 是一种器官特异性自身免疫性疾病, 主要包括 Graves 病(Graves' disease, GD) 和桥本甲状腺炎(Hashimoto's thyroiditis, HT) 两种临床类型<sup>[1]</sup>。子宫球蛋白相关蛋白 1(uteroglobin-related protein 1, UGRP1) 由 SCGB3A2 基因编码, 主要在气管、支气管的上皮细胞中表达, 在甲状腺组织中也有少量表达<sup>[2]</sup>。人类 UGRP1 基因定位在染色体 5q31-33, 这是一个包含一组编码大量 Th2 细胞因子且具有 CD 易感位点的基因区域<sup>[3-4]</sup>。前期研究<sup>[5-6]</sup>显示 88.4% HT 及 24.7% GD 患者甲状腺细胞中表达 UGRP1, 而正常甲状腺细胞及甲状腺肿瘤细胞中不表达或低表达 UGRP1。GD 和 HT 患者甲状腺组织 UGRP1 与自杀相关因子(factor associated with suicide, Fas) 共表达, 并且 UGRP1 阳性甲状腺组织中 IL-1β 的表达量高于 UGRP1 阴性者。IL-1β 主要是一种促炎细胞因子<sup>[7]</sup>, 它在 HT 患者甲状腺组织中大量表达, 是唯一诱导甲状腺细胞 Fas 表达的细胞因子, 通过与广泛存在的 FasL 结合诱导甲状腺细胞凋亡<sup>[8-9]</sup>。在 AITD 患者尤其是 HT 患者的甲状腺组织中 UGRP1 高表达, 且 UGRP1 高表达的甲状腺细胞中 Fas 表达也增高, 但 UGRP1 高表达的具体机制、UGRP1 高表达与 Fas 共表达之间是否存在关联尚不清楚。Fas/FasL 介导的凋亡是经典的 AITD 致病机制。本研究通过应用 IL-1β 诱导甲状腺细胞, 探讨甲状腺细胞 UGRP1 表达及其与 Fas/FasL 介导细胞凋亡的相关性。

## 1 材料与方法

**1.1 细胞系及主要试剂** 大鼠甲状腺细胞 FRTL-5(美国 ATCC 公司); 重组人 IL-1β(吴江近岸蛋白质科技有限公司); 抗 FasL 抗体(美国 R&D 公司); 胎牛血清、RPMI-1640 培养基(美国 Gibco 公司); 0.25% 胰酶细胞消化液(上海碧云天生物技术有限公司); TRIzol 试剂盒(美国 Invitrogen 公司); 逆转录试剂盒(美国 Thermo 公司); SYBR Premix ExTaq II 定量 PCR 试剂盒(大连宝生物工程有限公司); Annexin V-FITC/PI 双染细胞凋亡检测试剂盒(上海贝博公司); 引物由上海生工生物工程有限公司合成。

## 1.2 方法

**1.2.1 细胞培养及干预** 将 FRTL-5 细胞置于含 10% 胎牛血清、1% 青链霉素的 RPMI-1640 培养基中, 在 37 ℃、5% CO<sub>2</sub> 浓度的恒温培养箱中培养。当细胞生长密度达 70% 左右时, 用胰酶细胞消化液

消化, 按 1/2 或 1/3 进行传代培养, 或者按照合适浓度接种至细胞培养板中。用不同浓度(10、20、40 ng/ml) IL-1β 刺激细胞, 同时设置对照组(未加 IL-1β) 继续培养 48 h, 收集细胞用于后期检测。用 IL-1β(40 ng/ml) 刺激细胞, 分别培养 12、24、48 h, 并设置对照组(0 h), 收集细胞用于后期检测。用抗 FasL 抗体(5 μg/ml) 预处理细胞 45 min 后, 再加入 IL-1β(40 ng/ml) 刺激细胞, 同时设立对照组(未加 IL-1β 及抗 FasL 抗体)、IL-1β(40 ng/ml) 组继续培养 48 h, 收集细胞用于后期检测。

**1.2.2 Real-time PCR 法检测 mRNA** 采用 TRIzol 法提取各组细胞总 RNA, 使用逆转录试剂盒将 RNA 逆转录为 cDNA, 参考荧光定量 PCR 检测试剂盒说明书使用 Real-time PCR 仪(Bio-Rad CFX96) 检测相关基因的表达水平。以 GAPDH 为内参, 采用 2<sup>-ΔΔCt</sup> 法比较分析目的基因 mRNA 表达水平。引物见表 1。

表 1 引物序列(5'-3')

基因	引物序列
Fas	F: GTCTGCCTCTGGTGCTTC R: TTACAGCTCCCTCTTCAACTC
UGRP1	F: CAGTGTCCCTCTCCTGTTGAC R: CCCAGCTCATTACGCACCTT
GAPDH	F: TTGTGCAGTGCCAGCCTC R: GCTAACCAACCAGGGTCCGATAC

**1.2.3 流式细胞术检测细胞凋亡** 将细胞接种于 6 孔板中, 设置对照组、IL-1β 组和 IL-1β + 抗 FasL 抗体组。对照组(未加 IL-1β 及抗 FasL 抗体)和 IL-1β 组(40 ng/ml) 继续培养 48 h, IL-1β + 抗 FasL 抗体组先予以抗 FasL 抗体(5 μg/ml) 预孵 45 min, 再添加终浓度为 40 ng/ml 的 IL-1β 继续培养 48 h。使用不含 EDTA 的胰酶细胞消化液消化收集细胞。按照 Annexin V-FITC/PI 双染细胞凋亡检测试剂盒说明书进行操作, 用流式细胞仪(BECKMAN COULTER) 检测。记录各组的细胞凋亡率, 实验重复 3 次。

**1.3 统计学处理** 采用 SPSS 17.0 及 GraphPad Prism 8.0 软件进行统计分析, 实验数据以  $\bar{x} \pm s$  表示, 两组均数间的比较采用 t 检验, 多组均数间的比较采用单因素方差分析。以  $P < 0.05$  为差异有统计学意义。

## 2 结果

### 2.1 IL-1β 对 FRTL-5 细胞 Fas mRNA 表达水平

的影响。与对照组相比,IL-1 $\beta$ 组FRTL-5细胞Fas mRNA的表达水平呈剂量-时间依赖性增加。在不同浓度刺激下,20 ng/ml组( $1.88 \pm 0.22$ )和40 ng/ml组( $2.86 \pm 0.52$ )高于对照组( $1.01 \pm 0.19$ ),差异有统计学意义( $F = 19.35, P = 0.0005$ ),如图1A。在不同时间作用下,12 h组( $1.92 \pm 0.51$ )、24 h组( $2.38 \pm 0.09$ )和48 h组( $3.63 \pm 0.28$ )高于对照组( $1.00 \pm 0.08$ ),差异有统计学意义( $F = 40.31, P < 0.0001$ )如图1B。

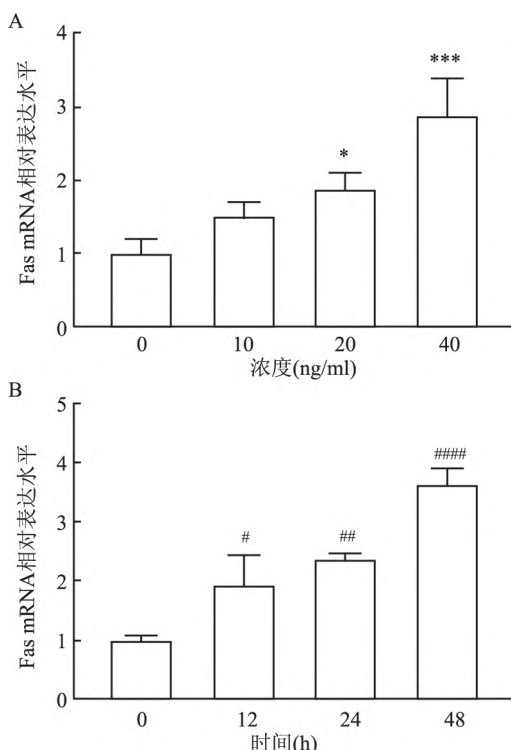


图1 IL-1 $\beta$ 对FRTL-5细胞Fas mRNA表达水平的影响

A: 不同浓度 IL-1 $\beta$  对 FRTL-5 细胞 Fas mRNA 表达水平的影响;  
B: 不同时间作用下 IL-1 $\beta$  对 FRTL-5 细胞 Fas mRNA 表达水平的影响;与 0 ng/ml 组比较: \*  $P < 0.05$ , \*\*\*  $P < 0.001$ ; 与 0 h 组比较, #  $P < 0.05$ , ##  $P < 0.01$ , ####  $P < 0.0001$

**2.2 IL-1 $\beta$ 对FRTL-5细胞UGRP1 mRNA表达水平的影响** 与对照组相比,IL-1 $\beta$ 组FRTL-5细胞UGRP1 mRNA的表达水平呈剂量-时间依赖性增加。在不同浓度刺激下,10 ng/ml组( $1.74 \pm 0.27$ )、20 ng/ml组( $2.34 \pm 0.45$ )和40 ng/ml组( $2.94 \pm 0.22$ )高于对照组( $1.01 \pm 0.18$ ),差异有统计学意义( $F = 23.11, P = 0.0003$ ),如图2A。在不同时间作用下,24 h组( $1.85 \pm 0.17$ )和48 h组( $2.12 \pm 0.12$ )高于对照组( $1.01 \pm 0.18$ ),差异有统计学意义( $F = 24.96, P = 0.0002$ )如图2B。

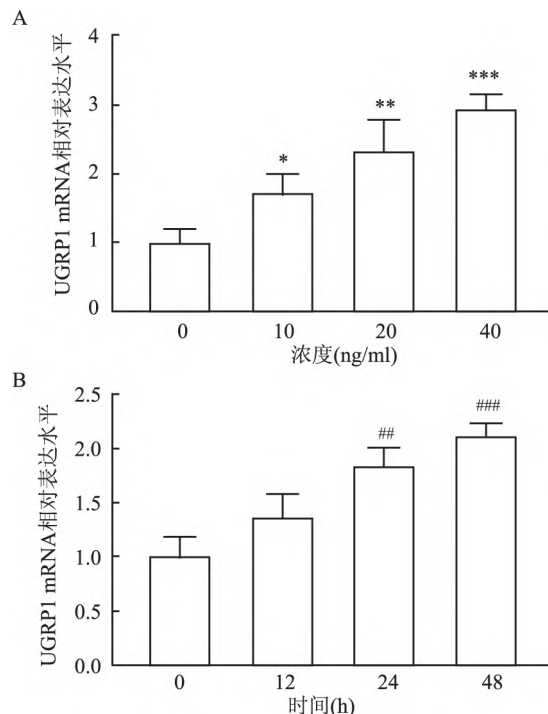
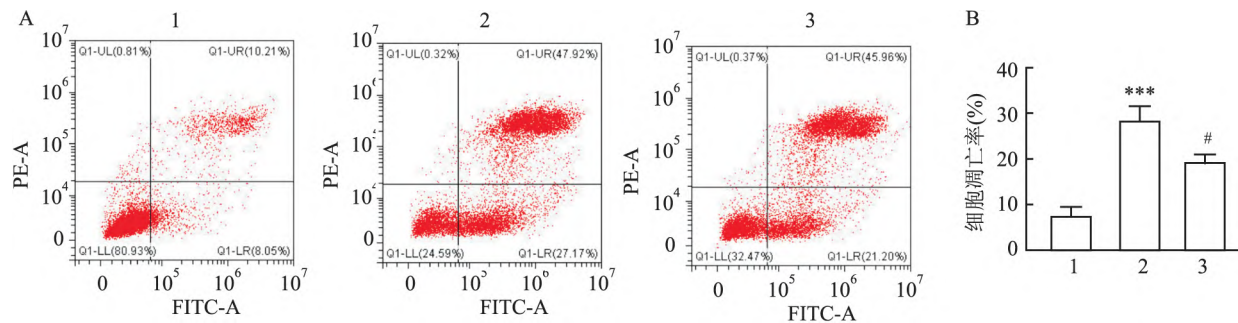


图2 IL-1 $\beta$ 对FRTL-5细胞UGRP1 mRNA表达水平的影响

A: 不同浓度 IL-1 $\beta$  对 FRTL-5 细胞 UGRP1 mRNA 表达水平的影响; B: 不同时间作用下 IL-1 $\beta$  对 FRTL-5 细胞 UGRP1 mRNA 表达水平的影响; 与 0 ng/ml 组比较: \*  $P < 0.05$ , \*\*  $P < 0.01$ , \*\*\*  $P < 0.001$ ; 与 0 h 组比较: ##  $P < 0.01$ , ###  $P < 0.001$

**2.3 IL-1 $\beta$ 及抗FasL抗体对FRTL-5细胞凋亡率的影响** 流式细胞术检测细胞凋亡率结果显示 IL-1 $\beta$ (40 ng/ml)组细胞的早期凋亡率较对照组升高( $7.49 \pm 1.91\% vs 28.46 \pm 3.17\%$ ;  $t = 9.814, P = 0.0006$ ) IL-1 $\beta$ (40 ng/ml)+抗FasL抗体组细胞的早期凋亡率较 IL-1 $\beta$ (40 ng/ml)组降低( $28.46 \pm 3.17\% vs 19.20 \pm 1.75\%$ ;  $t = 4.433, P = 0.0114$ ),如图3。

**2.4 抗FasL抗体对FRTL-5细胞Fas mRNA及UGRP1 mRNA表达水平的影响** 与对照组相比,IL-1 $\beta$ (40 ng/ml)组,FRTL-5细胞Fas mRNA( $1.01 \pm 0.09 vs 2.75 \pm 0.18$ ;  $t = 15.09, P = 0.0001$ )和UGRP1 mRNA( $1.00 \pm 0.07 vs 2.22 \pm 0.31$ ;  $t = 6.687, P = 0.0026$ )表达水平增加;与对照组相比,IL-1 $\beta$ (40 ng/ml)+抗FasL抗体组Fas mRNA( $1.01 \pm 0.09 vs 3.03 \pm 0.16$ ;  $t = 19.38, P < 0.0001$ )和UGRP1 mRNA( $1.00 \pm 0.07 vs 2.66 \pm 0.28$ ;  $t = 9.856, P = 0.0006$ )表达水平增加;与 IL-1 $\beta$ (40 ng/ml)组相比,IL-1 $\beta$ (40 ng/ml)+抗FasL抗体组Fas mRNA( $2.75 \pm 0.18 vs 3.03 \pm 0.16$ ;  $t = 2.072, P = 0.107$ )和UGRP1 mRNA( $2.22 \pm 0.31 vs 2.66 \pm 0.28$ ;  $t = 1.614, P = 0.125$ )表达水平无明显差异。

图3 IL-1 $\beta$ 及抗FasL抗体对FRTL-5细胞凋亡率的影响

A: 流式细胞术检测细胞凋亡; B: 细胞凋亡率柱状图; 1: 对照组; 2: IL-1 $\beta$ 组; 3: IL-1 $\beta$ +抗FasL抗体组; 与对照组比较: \*\*\*  $P < 0.001$ ; 与 IL-1 $\beta$ 组比较: #  $P < 0.05$

0.28;  $t = 1.811$ ,  $P = 0.144$ ) 的表达水平变化均无统计学差异。见图 4A、B。

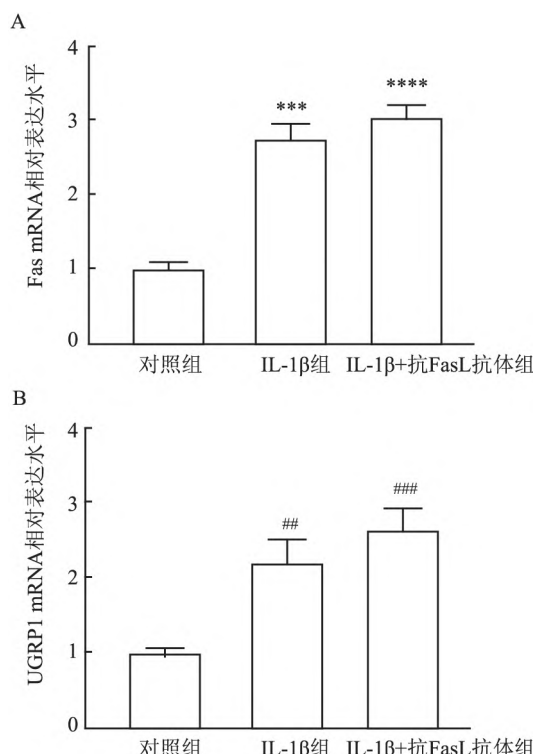


图4 抗FasL抗体对FRTL-5细胞Fas mRNA及UGRP1 mRNA表达水平的影响

A: 三组间 Fas mRNA 表达水平变化; B: 三组间 UGRP1 mRNA 表达水平变化; 与对照组比较, \*\*\*  $P < 0.001$ , \*\*\*\*  $P < 0.0001$ ; 与对照组比较, ##  $P < 0.01$ , ###  $P < 0.001$

### 3 讨论

AITD 是由遗传因素、环境因素等相互作用而发生发展的一种自身免疫性疾病。辅助性 T 细胞在调节 AITD 患者甲状腺免疫反应中的重要性已得到充

分证实, GD 主要以 Th2 细胞引起的体液免疫为主, HT 主要以 Th1 细胞引起的细胞免疫为主<sup>[10]</sup>。 UGRP1 作为一种功能机制尚未明确的蛋白, 已被证实是甲状腺转录因子 1 的下游靶基因, 该基因在 AITD 患者的甲状腺中表达升高<sup>[11]</sup>。

AITD 患者, 尤其 HT 患者甲状腺组织高表达 UGRP1<sup>[5]</sup>, 甲状腺细胞 UGRP1 阳性 HT 患者血清 TPOAb 及 TgAb 阳性滴度高于 UGRP1 阴性患者<sup>[6]</sup>, 而甲状腺细胞 UGRP1 阳性的 GD 患者经过<sup>[12]</sup><sup>131</sup>I 治疗后更容易发生甲状腺功能减退<sup>[12]</sup>, 提示甲状腺细胞 UGRP1 阳性 GD 患者倾向于 HT 的自然转归, 推测 UGRP1 可能作为 AITD 特别是 HT 的一种新型生物学标志物, 而且对于 GD 患者的甲减风险有一定预警意义。 UGRP1 与 Fas 在 AITD 患者的甲状腺细胞中共表达, 在 UGRP1 阳性的 GD 患者中, 其甲状腺组织中浸润的单核细胞和巨噬细胞中 IL-1 $\beta$  的表达量亦高于 UGRP1 阴性的患者<sup>[5]</sup>。本研究应用 IL-1 $\beta$  刺激大鼠甲状腺细胞, 结果显示在 mRNA 水平 UGRP1 和 Fas 表达呈升高趋势, 与 AITD 患者甲状腺细胞 UGRP1 与 Fas 共表达且周围浸润的 IL-1 $\beta$  高表达相吻合。长期以来 Fas/FasL 凋亡途径是 AITD 尤其是 HT 的经典通路, 既往研究<sup>[9]</sup>表明 IL-1 $\beta$  是唯一一种通过 Fas/FasL 通路诱导甲状腺细胞凋亡的细胞因子, 为了探讨 UGRP1 高表达与 Fas/FasL 介导细胞凋亡的相关性, 本研究予抗 FasL 抗体预孵甲状腺细胞, 阻断 FasL 与 Fas 相结合<sup>[13]</sup>, 降低 IL-1 $\beta$  诱导的细胞凋亡, 结果显示抗 FasL 抗体预孵的甲状腺细胞早期凋亡率降低, 但 UGRP1 表达水平并未出现显著性变化。这一结果说明 IL-1 $\beta$  诱导甲状腺细胞 UGRP1 高表达与 Fas/FasL 介导的细胞凋亡不相关。

综上所述, 本研究结果表明 IL-1 $\beta$  可以诱导甲

状腺细胞 UGRP1 与 Fas 高表达，并且可以促使甲状腺细胞凋亡，但 UGRP1 高表达与 Fas/FasL 介导的细胞凋亡不相关。UGRP1 与 Fas/FasL 介导的细胞凋亡之间的相关性仍有待进一步深入研究。

## 参考文献

- [1] Rebuffat S A , Kammoun-Krichen M , Charfeddine I , et al. IL-1 $\beta$  and TSH disturb thyroid epithelium integrity in autoimmune thyroid diseases [J]. *Immunobiology* , 2013 , 218(3) : 285 – 91.
- [2] Niimi T , Keck-Waggoner C L , Popescu N C , et al. UGRP1 , a uteroglobin/Clara cell secretory protein-related protein , is a novel lung-enriched downstream target gene for the T/EBP/NKX2.1 homeodomain transcription factor [J]. *Mol Endocrinol* , 2001 , 15 ( 11 ) : 2021 – 36.
- [3] Song H D , Liang J , Shi J Y , et al. Functional SNPs in the SCGB3A2 promoter are associated with susceptibility to Graves' disease [J]. *Hum Mol Genet* , 2009 , 18( 6 ) : 1156 – 70.
- [4] Xue L , Han B , Pan C , et al. The association of SCGB3A2 polymorphisms with the risk of Graves' disease: a meta-analysis [J]. *Endocrine* . 2014 , 45( 3 ) : 365 – 9.
- [5] Zhou Z , Zuo C L , Li X S , et al. Uterus globulin associated protein 1 ( UGRP1 ) is a potential marker of progression of Graves' disease into hypothyroidism [J]. *Mol Cell Endocrinol* , 2019 , 494: 110492.
- [6] 吴月 杜丹丹 宫伟宁 等. UGRP1 与甲状腺结节性质、功能及 BRAF 基因的相关性 [J]. 安徽医科大学学报 2021 , 56( 5 ) : 802 – 6.
- [7] Zhao R , Zhou H , Su S B. A critical role for interleukin-1 $\beta$  in the progression of autoimmune diseases [J]. *Int Immunopharmacol* , 2013 , 17( 3 ) : 658 – 69.
- [8] 李阿楠 张晓序 任翠平 沈际佳 左春林. 白细胞介素-1 $\beta$  诱导甲状腺细胞凋亡机制的研究 [J]. 安徽医科大学学报 2020 , 55 ( 9 ) : 1385 – 18.
- [9] Giordano C , Stassi G , De Maria R , et al. Potential involvement of Fas and its ligand in the pathogenesis of Hashimoto's thyroiditis [J]. *Science* , 1997 , 275( 5302 ) : 960 – 3.
- [10] Drugarin D , Negru S , Koreck A , et al. The pattern of a T( H ) 1 cytokine in autoimmune thyroiditis [J]. *Immunol Lett* , 2000 , 71 ( 2 ) : 73 – 7.
- [11] 孙玲玲 王艺 黄薇. UGRP1 基因及其与疾病相关性的研究 [J]. 医学分子生物学杂志 2005( 3 ) : 185 – 9.
- [12] 朱莉 宫伟宁 杜丹丹 等. 应用 UGRP1 预测 Graves 病患者碘 131 治疗发生甲减风险 [J]. 安徽医科大学学报 2019 , 54 ( 6 ) : 946 – 9.
- [13] Yuan Y , Zhang Y , Zhao S , et al. Cadmium-induced apoptosis in neuronal cells is mediated by Fas/FasL-mediated mitochondrial apoptotic signaling pathway [J]. *Sci Rep* , 2018 , 8( 1 ) : 8837.

## Expression of UGRP1 in thyroid cells induced by IL-1 $\beta$ and its correlation with Fas/FasL mediated apoptosis

Chen Cuiping<sup>1</sup> Li Anan<sup>1</sup> Ren Cuiping<sup>2</sup> Shen Jijia<sup>2</sup> Zuo Chunlin<sup>1</sup>

(<sup>1</sup>Dept of Endocrinology , The First Affiliated Hospital of Anhui Medical University , Hefei 230022; <sup>2</sup>Dept of Microbiology and Parasitology , School of Basic Medical Sciences , Anhui Medical University , Hefei 230032)

**Abstract Objective** To investigate the expression of uteroglobin-related protein 1( UGRP1 ) in thyroid cells induced by interleukin-1 $\beta$  ( IL-1 $\beta$  ) and its correlation with Fas/FasL mediated apoptosis. **Methods** Control group , IL-1 $\beta$  group and IL-1 $\beta$  + anti-FasL antibody group were established , rat thyroid cells ( FRTL-5 cells ) were cultured *in vitro*. The expression levels of UGRP1 and Fas mRNA of each group were detected by real-time PCR and the apoptosis rate of each group was detected by flow cytometry. **Results** Compared with control group , the mRNA expression levels of UGRP1 and Fas in IL-1 $\beta$  group and IL-1 $\beta$  + anti-FasL antibody group increased , and the difference was statistically significant ( $P < 0.05$ ) . Compared with control group , the early apoptosis rate of thyroid cells in IL-1 $\beta$  group increased ( $7.49\% \pm 1.91\% vs 28.46\% \pm 3.17\%$ ) , and the difference was statistically significant ( $P < 0.001$ ) . Compared with IL-1 $\beta$  group , the early apoptosis rate of thyroid cells in IL-1 $\beta$  + anti-FasL antibody group decreased ( $28.46\% \pm 3.17\% vs 19.20\% \pm 1.75\%$ ) , and the difference was statistically significant ( $P < 0.05$ ) . Compared with IL-1 $\beta$  group , the expression levels of UGRP1 mRNA ( $2.22 \pm 0.31 vs 2.66 \pm 0.28$ ) and Fas mRNA ( $2.75 \pm 0.18 vs 3.03 \pm 0.16$ ) in IL-1 $\beta$  + anti-FasL antibody group were not significantly different ( $P > 0.05$ ) . **Conclusion** IL-1 $\beta$  induces the high expression of UGRP1 and Fas and apoptosis of thyroid cells , the high expression of UGRP1 is not associated with Fas/FasL mediated apoptosis.

**Key words** interleukin-1 $\beta$ ; uteroglobin-related protein 1; Fas/FasL pathway; apoptosis; autoimmune thyroid diseases